

ЛЕКЦИЯ №14. ОСНОВЫ МЕТОДОВ ПОСТРОЕНИЯ РАЗНОСТНЫХ СХЕМ ИНТЕГРО - ИНТЕРПОЛЯЦИОННЫЙ МЕТОД

Этот метод наиболее надежен и применим во всех случаях, даже для уравнений с разрывными коэффициентами.

Обсудим получение данным методом разностной схемы для квазилинейного уравнения параболического типа

$$c(u) \frac{\partial u}{\partial t} = \frac{\partial}{\partial x} \left(k(u) \frac{\partial u}{\partial x} \right) - p(x)u + f(u). \quad (14.1)$$

Коэффициенты $k(u), c(u)$ и функция $f(u)$ уравнения могут быть кусочно-непрерывными функциями. Данное уравнение совпадает с уравнением (8.1) из лекции №8, если положить коэффициент $c(u) = 0$ и убрать зависимость k, f от u .

Поставим дополнительные условия.

Начальное условие

$$t = 0, u(x, 0) = \mu(x).$$

Краевые условия достаточно общего вида : слева - II рода, справа - III рода

$$x = 0, -k(u(0)) \frac{\partial u}{\partial x} = F(t),$$

,

$$x = l, -k(u(l)) \frac{\partial u}{\partial x} = \alpha(u(l) - \beta)$$

где α, β - известные числа.

Для уравнения (14.1) непрерывными величинами являются функция $u(x, t)$ и поток

$$F = -k(u) \frac{\partial u}{\partial x}. \quad (14.2)$$

Тогда уравнение (14.1) можно переписать в виде

$$c(u) \frac{\partial u}{\partial t} = - \frac{\partial F}{\partial x} - p(x)u + f(u). \quad (14.3)$$

Для составления разностной схемы выбираем шаблон и связанную с шаблоном ячейку (см. рис. 1.2 из лекции №10, шаблон III - ячейка заштрихована). Проводим интегрирование уравнения (14.3) по ячейке:

$$\int_{x_{n-1/2}}^{x_{n+1/2}} dx \int_{t_m}^{t_{m+1}} c(u) \frac{\partial u}{\partial t} dt = - \int_{t_m}^{t_{m+1}} dt \int_{x_{n-1/2}}^{x_{n+1/2}} \frac{\partial F}{\partial x} dx - \int_{x_{n-1/2}}^{x_{n+1/2}} dx \int_{t_m}^{t_{m+1}} p(x)u dt + \int_{x_{n-1/2}}^{x_{n+1/2}} dx \int_{t_m}^{t_{m+1}} f(u) dt, \quad (14.4)$$

или

$$\int_{x_{n-1/2}}^{x_{n+1/2}} \bar{c}(\bar{u} - u) dx = \int_{t_m}^{t_{m+1}} (F_{n-1/2} - F_{n+1/2}) dt - \int_{x_{n-1/2}}^{x_{n+1/2}} p \bar{u} \tau dx + \int_{x_{n-1/2}}^{x_{n+1/2}} \bar{f} \tau dx.$$

Здесь при вычислении внутренних интегралов по t справа в уравнении (14.4) применен метод правых прямоугольников, тем самым следует ожидать порядок точности $O(\tau)$ по переменной t .

Интегралы по x вычислим методом средних, а первый интеграл в правой части (по времени) - по-прежнему, методом правых прямоугольников, получим

$$\bar{c}_n(\bar{y}_n - y_n)h = \tau(\bar{F}_{n-1/2} - \bar{F}_{n+1/2}) - p_n \bar{y}_n \tau h + \bar{f}_n \tau h, \quad (14.5)$$

Далее учтем, что согласно (7.11), (7.12) лекции №7

$$\bar{F}_{n+1/2} = \bar{\chi}_{n+1/2} \frac{\bar{y}_n - \bar{y}_{n+1}}{h}, \quad \bar{\chi}_{n+1/2} = \frac{h}{\int_{x_n}^{x_{n+1}} \frac{dx}{k(x)}}$$

$$\bar{F}_{n-1/2} = \bar{\chi}_{n-1/2} \frac{\bar{y}_{n-1} - \bar{y}_n}{h}, \quad \bar{\chi}_{n-1/2} = \frac{h}{\int_{x_{n-1}}^{x_n} \frac{dx}{k(x)}}.$$

Подставляя данные выражения для потоков в (14.5) приведем уравнение к каноническому виду систем с трехдиагональной матрицей

$$\hat{A}_n \bar{y}_{n-1} - \hat{B}_n \bar{y}_n + \hat{D}_n \bar{y}_{n+1} = -\hat{F}_n, \quad (14.6)$$

где

$$\hat{A}_n = \bar{\chi}_{n-1/2} \frac{\tau}{h},$$

$$\hat{D}_n = \bar{\chi}_{n+1/2} \frac{\tau}{h},$$

$$\hat{B}_n = \hat{A}_n + \hat{D}_n + \bar{c}_n h + p_n h \tau,$$

$$\hat{F}_n = f_n h \tau + \bar{c}_n y_n h.$$

Заметим, что при $c(u)=0$ уравнение (14.1) переходит в уравнение (8.1) из лекции №8, а разностное уравнение (14.6) при $\bar{c}_n=0$ со всеми своими коэффициентами - в разностное уравнение (8.2) (шаг τ сократится).

Обратим также внимание на то, что в выражение для \hat{F}_n входит y_n с **предыдущего** шага по времени, т.е. без крышки.

Точность полученной разностной схемы $O(\tau + h^2)$.

Получим **разностный аналог краевого условия** при $x=0$ аналогично тому, как это было сделано в лекции №7. Проинтегрируем уравнение (14.3) на отрезке $[0, x_{1/2}]$ и на временном интервале $[t_m, t_{m+1}]$

$$\int_0^{x_{1/2}} dx \int_{t_m}^{t_{m+1}} c(u) \frac{\partial u}{\partial t} dt = - \int_{t_m}^{t_{m+1}} dt \int_0^{x_{1/2}} \frac{\partial F}{\partial x} dx - \int_0^{x_{1/2}} dx \int_{t_m}^{t_{m+1}} p(x) u dt + \int_0^{x_{1/2}} dx \int_{t_m}^{t_{m+1}} f(u) dt.$$

Приближенно вычисляя интегралы по времени, как и выше, получим

$$\int_0^{x_{1/2}} \bar{c} (\bar{u} - u) dx = - \int_{t_m}^{t_{m+1}} (F_{1/2} - F_0) dt - \int_0^{x_{1/2}} p \bar{u} \tau dx + \int_0^{x_{1/2}} \hat{f} \tau dx.$$

Вычисляем интегралы. Первый интеграл справа, как и ранее, находим методом правых прямоугольников, а остальные - методом трапеций

$$\frac{h}{4}[\bar{c}_{1/2}(\bar{y}_{1/2} - y_{1/2}) + \bar{c}_0(\bar{y}_0 - y_0)] = -(\bar{F}_{1/2} - \bar{F}_0)\tau - (p_{1/2} \bar{y}_{1/2} + p_0 \bar{y}_0)\tau \frac{h}{4} + (\bar{f}_{1/2} + \bar{f}_0)\tau \frac{h}{4}.$$

Подставляя в данное уравнения выражение для потока $\bar{F}_{1/2}$, учитывая, что $\bar{F}_0 = F(t_{m+1}) = \bar{F}$, и заменяя $\bar{y}_{1/2} = \frac{\bar{y}_0 + \bar{y}_1}{2}$, $y_{1/2} = \frac{y_0 + y_1}{2}$, найдем разностный аналог краевого условия

$$\begin{aligned} & \left(\frac{h}{8} \bar{c}_{1/2} + \frac{h}{4} \bar{c}_0 + \bar{\chi}_{1/2} \frac{\tau}{h} + \frac{\tau h}{8} p_{1/2} + \frac{\tau h}{4} p_0 \right) \bar{y}_0 + \left(\frac{h}{8} \bar{c}_{1/2} - \bar{\chi}_{1/2} \frac{\tau}{h} + \frac{\tau h}{8} p_{1/2} \right) \bar{y}_1 = \\ & = \frac{h}{8} \bar{c}_{1/2} (y_0 + y_1) + \frac{h}{4} \bar{c}_0 y_0 + \bar{F} \tau + \frac{\tau h}{4} (\bar{f}_{1/2} + \bar{f}_0) \end{aligned} \quad (14.7)$$

Отсюда ищутся начальные значения прогоночных коэффициентов.

Легко видеть, что при $c(u)=0$ формула (14.7) переходит в (7.15) из лекции №7.

Разностный аналог краевого условия при $x=l$ получается аналогичным образом, если проинтегрировать уравнение (14.3) на отрезке $[x_{N-1/2}, x_N]$ и учесть, что поток

$$\bar{F}_N = \alpha(\bar{y}_N - \beta), \text{ а } \bar{F}_{N-1/2} = \bar{\chi}_{N-1/2} \frac{\bar{y}_{N-1} - \bar{y}_N}{h}.$$

В итоге система квазилинейных разностных уравнений примет канонический вид

$$\begin{cases} \bar{K}_0 \bar{y}_0 + \bar{M}_0 \bar{y}_1 = \bar{P}_0, \\ \bar{A}_n \bar{y}_{n-1} - \bar{B}_n \bar{y}_n + \bar{D}_n \bar{y}_{n+1} = -\bar{F}_n, \quad 1 \leq n \leq N-1, \\ \bar{K}_N \bar{y}_N + \bar{M}_{N-1} \bar{y}_{N-1} = \bar{P}_N \end{cases} \quad (14.8)$$

Самый простой способ решения таких систем - это брать коэффициенты уравнений с предыдущего временного слоя (убираются крышки над коэффициентами). Система уравнений становится линейной и легко решается методом прогонки. Однако более выгоден нелинейный вариант разностной схемы, т.к. при использовании нелинейного варианта все вычисления можно проводить с большим шагом по времени, чем в линейном случае. Поэтому нелинейная схема оказывается предпочтительнее, несмотря на ее большую громоздкость и сложность.

Алгоритмы решения систем типа (14.8) в нелинейном случае описаны в лекции №8. Отметим основные особенности алгоритма применительно к рассматриваемым уравнениям в частных производных.

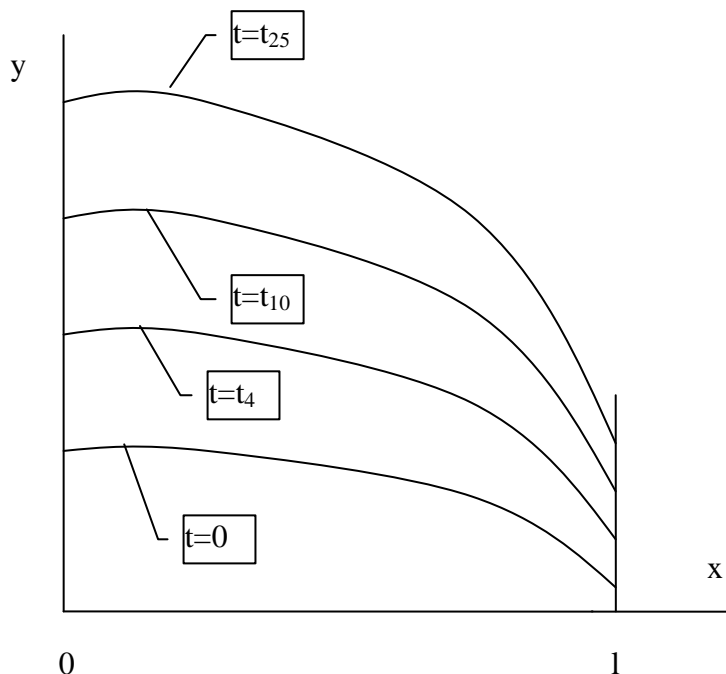
В методе простых итераций система (14.8) решается многократно на **каждом шаге** по времени, т.е. для получения решения \hat{y}_n , $n=0...N$ в момент времени $t=t_{m+1}$ итерационная процедура организуется по схеме (8.3) из лекции №8

$$\hat{A}_n^{s-1} \hat{y}_{n+1}^s - \hat{B}_n^{s-1} \hat{y}_n^s + \hat{D}_n^{s-1} \hat{y}_{n-1}^s = -\hat{F}_n^{s-1},$$

здесь s - номер итерации.

В качестве начального приближения \hat{y}_n^0 задается сошедшееся решение \hat{y}_n с предыдущего шага $t=t_m$, т.е. $\hat{y}_n^0 = \hat{y}_n$.

В итоге для каждого момента времени $t=t_m, m=1,2,...M$ получаем разностное решение \hat{y}_n . Набор таких решений для всех $t_m, m=1,2,...M$ соответствует функции двух переменных $u(x_n, t_m)$, являющейся решением исходного дифференциального уравнения (14.1).



Нелинейная система (14.8) может быть решена также методом Ньютона (лекция №8).

На рисунке схематично иллюстрируется одна из возможных форм визуализации результатов расчетов. Приведены разностные решения \bar{y}_n системы (14.8) в разные моменты времени. Момент $t=0$ соответствует начальному условию, т.е. $y_n = \mu(x_n)$. Далее приведены решения для $t=t_4=4\tau$, $t=t_{10}=10\tau$, $t=t_{25}=25\tau$ и т.д. до момента времени окончания счета. Здесь шаг по времени τ считается постоянным, т.е. $\tau = \text{const}$. Постоянство шага не является обязательным, и в зависимости от скорости изменения функции во времени шаг может как уменьшаться, так и увеличиваться.

Результат расчета может быть представлен также в виде кривых зависимости решения уравнений от времени t для фиксированных значениях переменной x .

В заключение лекции рассмотрим вариант записи уравнений в **криволинейных** координатах: цилиндрических или сферических. В простом случае линейного уравнения имеем

$$\frac{\partial u}{\partial t} = -\frac{1}{r^p} \frac{\partial}{\partial r}(r^p F) + f(r, t),$$

$$F = -k(r, t) \frac{\partial u}{\partial r}.$$

Здесь $p=0, 1, 2$ для плоской, цилиндрической и сферической геометрии, соответственно.

Применим интегро - интерполяционный метод. Для этого проинтегрируем заданное уравнение по ячейке, аналогично тому, как это было сделано ранее

$$\int_{r_{n-1/2}}^{r_{n+1/2}} r^p dr \int_{t_m}^{t_{m+1}} \frac{\partial u}{\partial t} dt = - \int_{t_m}^{t_{m+1}} dt \int_{r_{n-1/2}}^{r_{n+1/2}} \frac{1}{r^p} \frac{\partial}{\partial r}(r^p F) r^p dr + \int_{t_m}^{t_{m+1}} dt \int_{r_{n-1/2}}^{r_{n+1/2}} f(r, t) r^p dr,$$

или

$$\int_{r_{n-1/2}}^{r_{n+1/2}} (\bar{u} - u) r^p dr = \int_{t_m}^{t_{m+1}} (r_{n-1/2}^p F_{n-1/2} - r_{n+1/2}^p F_{n+1/2}) dt + \int_{t_m}^{t_{m+1}} dt \int_{r_{n-1/2}}^{r_{n+1/2}} f(r, t) r^p dr.$$

Выполняя те же вычисления, которые мы проводили выше и вводя параметр σ на шеститочечном шаблоне получим

$$(\bar{y}_n - y_n)V_n = \tau \left[\sigma(r_{n-1/2}^p \bar{F}_{n-1/2} - r_{n+1/2}^p \bar{F}_{n+1/2}) + (1 - \sigma)(r_{n-1/2}^p F_{n-1/2} - r_{n+1/2}^p F_{n+1/2}) \right] + \varphi_n, \quad (14.9)$$

где

$$V_n = \frac{1}{p+1} (r_{n+1/2}^{p+1} - r_{n-1/2}^{p+1}).$$

Потоки $\bar{F}_{n-1/2}, \bar{F}_{n+1/2}, F_{n-1/2}, F_{n+1/2}$ выписаны выше.

Подставляя в (14.9) выражения для потоков, получаем разностную схему

$$\begin{aligned} (\bar{y}_n - y_n)V_n = & \\ = \tau \left[\sigma(r_{n-1/2}^p \chi_{n-1/2} \frac{\bar{y}_{n-1} - \bar{y}_n}{h} - r_{n+1/2}^p \chi_{n+1/2} \frac{\bar{y}_n - \bar{y}_{n+1}}{h}) + \right. & \\ \left. + (1 - \sigma)(r_{n-1/2}^p \chi_{n-1/2} \frac{y_{n-1} - y_n}{h} - r_{n+1/2}^p \chi_{n+1/2} \frac{y_n - y_{n+1}}{h}) \right] + \varphi_n & \end{aligned}$$

Приведем результаты по сходимости разностного решения к точному.

Будем считать, что функции $k(x, t)$ и $f(x, t)$, а также их первые и вторые производные кусочно-непрерывны, причем точки разрыва неподвижны. Выберем неравномерную сетку, такую, чтобы узлы попадали на точки разрыва. Тогда выписанная схема при

выполнении условия устойчивости $\sigma \geq \frac{1}{2} - \frac{1}{4\tau} \min \frac{h^2}{k}$ равномерно сходится на указанной

сетке с точностью $O(\tau^p + h^2)$, причем $p=2$ при весе $\sigma = \frac{1}{2}$ и $p=1$ при $\sigma \neq \frac{1}{2}$.